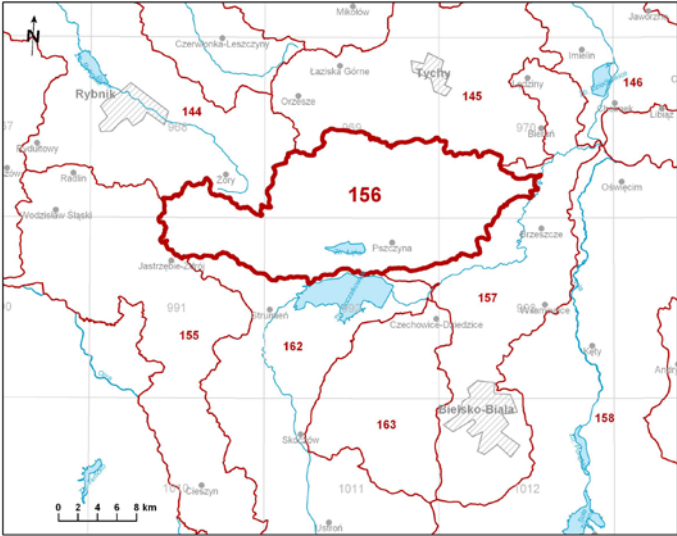
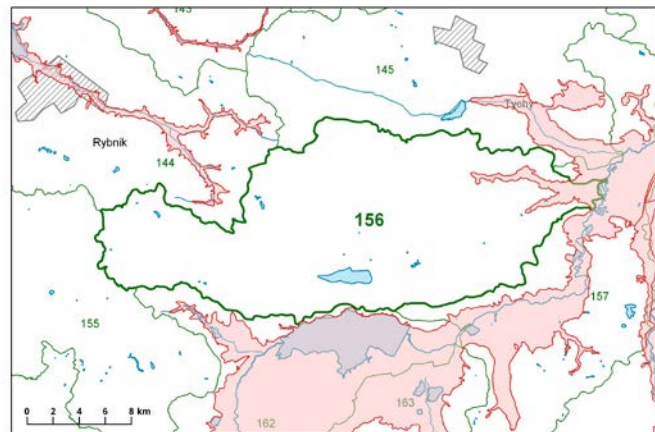


Numer JCWPd: 156	Powierzchnia JCWPd [km²]: 370.3	
Identyfikator UE:	PLGW2000156	
Położenie administracyjne		
Województwo	Powiat	Gminy
śląskie	pszczyński	Kobiór, Pszczyzna, Suszec, Pawłowice, Goczałkowice-Zdrój, Miedzna
	bieruńsko-lędziński	Bojszowy
	mikołowski	Orzesze
	M. Żory	Żory
	M. Jastrzębie-Zdrój	Jastrzębie-Zdrój
	rybnicki	Świerklany
	wodzisławski	Mszana
Współrzędne geograficzne	18°35'47.061" - 19°08'38.931" 49°56'20.230" - 50°04'55.174"	
Mapa z lokalizacją JCWPd		
		
Położenie geograficzne		
Region fizyczno-geograficzny (Kondracki, 2009)	Prowincja: Wyżyny Polskie (34)	
	Podprowincja: Wyżyna Śląsko-Krakowska (341)	
	Makroregion: Wyżyna Śląska (341.1)	Mezoregion: Płaskowyż Rybnicki (341.15)
	Prowincja: Karpaty Zachodnie (51)	
	Podprowincja: Północne Podkarpacie (512)	
	Makroregion: Kotlina Oświęcimska (512.2)	Mezoregiony: Równina Pszczyńska (512.21) Dolina Górnej Wisły (512.22)
Położenie hydrologiczne i hydrogeologiczne		
Dorzecze	Wisły	
Region wodny RZGW	Małej Wisły RZGW Gliwice	
Główna zlewnia w obrębie JCWPd (rząd zlewni)	Pszczyzna (II)	

Obszar bilansowy	GL-II Mała Wisła do ujścia Przemszy				
Region hydrogeologiczny (Paczyński, 1995)	Region przedkarpacki (XIII)				
Zagospodarowanie terenu (źródło: warstwa Corin Land Cover)					
% obszarów antropogenicznych	10,63				
% obszarów rolnych	55,36				
% obszarów leśnych i zielonych	32,23				
% obszarów podmokłych	0,00				
% obszarów wodnych	1,78				
HYDROGEOLOGIA					
Liczba pięter wodonośnych	3				
Charakterystyka pięter wodonośnych (od powierzchni terenu)					
Piętro czwartorzędowe	Poziom Q1	Stratygrafia	Litologia	Charakterystyka wodonośca	
		Q	piaski, żwiry	porowy	
		Charakter zwierciadła wody	Głębokość występowania warstw wodonośnych poziomu od – do [m]		
		swobodny	0,2-37,5		
		Parametry hydrogeologiczne warstwy wodonośnej			
		miąższość od – do	wsp. filtracji od -do	przewodność	odsączalność/ zasobność sprężysta średnia
		[m]	[m/h]	[m ² /h]	-
		2,2-17,8	1,04-1,53	7,13-12,33	bd
		Typy chemiczne wód podziemnych (naturalne/ odbiegające od typów naturalnych)			
		<u>Typy naturalne:</u> HCO ₃ -Ca (wody wodorowęglanowo-wapniowe) <u>Typy odbiegające od naturalnych:</u> HCO ₃ -Ca-Na (wody wodorowęglanowo-wapniowo-sodowe), HCO ₃ -SO ₄ -Ca (wody wodorowęglanowo-siarczanowo-wapniowe), SO ₄ -Ca-Mg (wody siarczanowo-wapniowo-magnezowe), SO ₄ -Cl-Ca (wody siarczanowo-chlorkowo-wapniowe)			
	Poziom Q2	Stratygrafia	Litologia	Charakterystyka wodonośca	
		Q	piaski, żwiry	porowy	
		Charakter zwierciadła wody	Głębokość występowania warstw wodonośnych poziomu od – do [m]		
		swobodny, lokalnie napięty	13,5-99,0		
Parametry hydrogeologiczne warstwy wodonośnej					
miąższość od – do		wsp. filtracji od -do	przewodność	odsączalność/ zasobność sprężysta średnia	
[m]		[m/h]	[m ² /h]	-	
2,0-30,0		0,25-1,92	2,21-22,25	bd	
Typy chemiczne wód podziemnych (naturalne/ odbiegające od typów naturalnych)					
<u>Typy naturalne:</u> HCO ₃ -Ca (wody wodorowęglanowo-wapniowe)					

		<p align="center"><u>Typy odbiegające od naturalnych:</u> $\text{HCO}_3\text{-Ca-Na}$ (wody wodorowęglanowo-wapniowo-sodowe), $\text{HCO}_3\text{-SO}_4\text{-Cl-Ca-Na}$ (wody wodorowęglanowo-siarczanowo-chlorkowo-wapniowo-sodowe), $\text{HCO}_3\text{-SO}_4\text{-Ca}$ (wody wodorowęglanowo-siarczanowo-wapniowe)</p>				
Piętro neogeńsko-czwartorzędowe Q-Ng	Stratygrafia	Litologia		Charakterystyka wodonośca		
	Q-Ng	żwiry, piaski		porowy		
	Charakter zwierciadła wody	Głębokość występowania warstw wodonośnych poziomu;				
	napięty	od – do [m]				
		5,0-77,0				
	Parametry hydrogeologiczne warstwy wodonośnej					
	miąższość od –do	wsp. filtracji od -do		przewodność	odsączalność/ zasobność sprężysta średnia	
	[m]	[m/h]		[m ² /h]		
	15,0-28,5	0,12-0,58		1,04-10,13	bd	
	Typy chemiczne wód podziemnych (naturalne/ odbiegające od typów naturalnych)					
<p align="center"><u>Typy naturalne:</u> $\text{HCO}_3\text{-Ca}$ (wody wodorowęglanowo-wapniowe) <u>Typy odbiegające od naturalnych:</u> $\text{HCO}_3\text{-SO}_4\text{-Cl-Ca-Na}$ (wody wodorowęglanowo-siarczanowo-chlorkowo-wapniowo-sodowe)</p>						
Piętro neogeńskie	Stratygrafia	Litologia		Charakterystyka wodonośca		
	Ng	żwiry, piaski		porowy		
	Charakter zwierciadła wody	Głębokość występowania warstw wodonośnych poziomu				
	napięty	od – do [m]				
		21,0->120,0				
	Parametry hydrogeologiczne warstwy wodonośnej					
	miąższość od –do	wsp. filtracji od -do		przewodność	odsączalność/ zasobność sprężysta średnia	
	[m]	[m/h]		[m ² /h]		
	10,0->54,0	0,01-0,02		0,67-0,70	bd	
	Typy chemiczne wód podziemnych (naturalne/ odbiegające od typów naturalnych)					
<p align="center"><u>Typy naturalne:</u> $\text{HCO}_3\text{-Ca}$ (wody wodorowęglanowo-wapniowe) <u>Typy odbiegające od naturalnych:</u> $\text{HCO}_3\text{-SO}_4\text{-Cl-Ca-Na}$ (wody wodorowęglanowo-siarczanowo-chlorkowo-wapniowo-sodowe)</p>						
Zagrożenie suszą (źródło: IMGW)		Liczba niżówek (susze hydrologiczne) w latach 1951-2000: 8-15				

Zagrożenie podtopieniami
(źródło: Mapa obszarów zagrożonych podtopieniami, 2007)

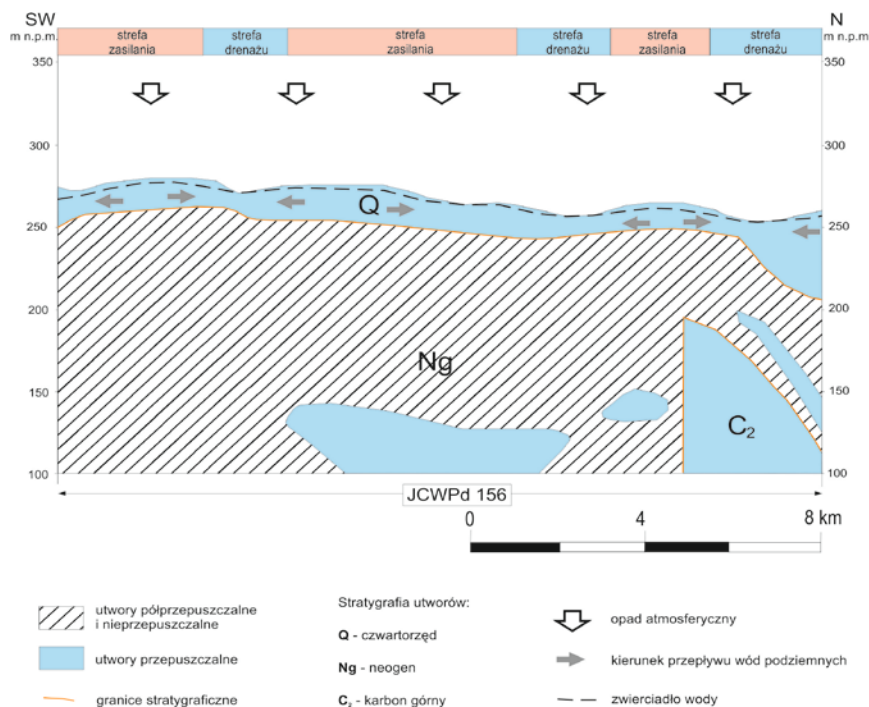


- Objaśnienia:
- jednolite części wód podziemnych numer JCWPd
 - obszar podtopień
 - miasto
 - rzeki
 - jeziora
 - miasto

Schemat krążenia wód

Zasilanie wód GPU następuje w wyniku infiltracji wód z opadu atmosferycznego w obszarze wychodni piętra czwartorzędowego oraz połączone – czwartorzędowo-neogeńskiego. Kontakt hydrauliczny ww pięter może następować w obrębie okien hydrogeologicznych (wertykalny) i dolin kopalnych (horyzontalny).

Naturalną podstawę drenażu stanowią rzeki Pszczyńka wraz z dopływami, która odprowadza wody na wschód ku Wiśle. Sztuczny drenaż spowodowany jest pompowaniem wód w licznych ujęciach wód podziemnych.



Ekosystemy wód powierzchniowych i ekosystemy lądowe zależne od wód podziemnych

Udział zasilania podziemnego w odpływie całkowitym rzek w obrębie JCWPd

28%

Ekosystemy lądowe zależne od wód podziemnych
(źródło: warstwa GIS)

Mokradła (29% powierzchni obszarów chronionych)

Ocena stanu JCWPd, w zależności od oddziaływań wód podziemnych na ekosystemy lądowe zależne od wód podziemnych, 2012 r.

dobry DW (dostateczna wiarygodność)

Obszary chronione w granicach JCWPd	
<p style="text-align: center;"><u>Rezerваты:</u> Żubrowisko Babczyna Dolina</p> <p style="text-align: center;"><u>Sieć Natura 2000 - specjalne obszary ochrony siedlisk:</u></p> <p style="text-align: center;">PLH240039 Zbiornik Goczałkowicki - Ujście Wisły i Bajerki</p> <p style="text-align: center;"><u>Sieć Natura 2000 - obszary specjalnej ochrony ptaków:</u></p> <p style="text-align: center;">PLB240001 Dolina Górnej Wisły PLB120009 Stawy w Brzeszczach</p>	
Antropopresja	
Leja depresji (lej regionalny-lokalny) związany z poborem wód podziemnych, odwodnieniami kopalnianymi, wpływem aglomeracji itp. (źródło: Mapa hydrogeologiczna Polski 1:50 000, Aktualizacja warstw informacyjnych bazy danych GIS Mapy hydrogeologicznej Polski "hydrodynamika głównego użytkowego poziomu wodonośnego (GUPW) i pierwszego poziomu wodonośnego (PPW)", 2012.)	Regionalny lej depresji związany z górnictwem węgla kamiennego
Ingresja lub ascenzja wód słonych do wód podziemnych	Brak
Sztuczne odnawianie zasobów	Brak
Pobór wód [tys m³ rok] – pobór rejestrowany – rok 2011	
dla zaopatrzenia ludności w wodę, przemysłu i inne	1 813,13
z odwodnienia kopalnianego	5 608,59
Zasoby wód podziemnych dostępne do zagospodarowania [m³/d]	
zasoby	50 503
% wykorzystania zasobów	40,3
Obszarowe źródła zanieczyszczeń	
Obszary szczególnie narażone na zanieczyszczenia azotanami pochodzenia rolniczego (źródło: warstwa GIS – OSN (Obszary Szczególnie Narażone))	Brak
Obszary zurbanizowane	Pszczyna
Ocena stanu JCWPd, 2012 r.	
Stan ilościowy	dobry
Stan chemiczny	słaby
Ogólna ocena stanu JCWPd	słaby
Ocena ryzyka niespełnienia celów środowiskowych	niezagrożona
Przyczyna zagrożenia nieosiągnięcia celów środowiskowych	-